

# 5月1日宮城県沖の地震

## 2021年5月1日 宮城県沖の地震 — 近地強震波形による震源過程解析（暫定）—

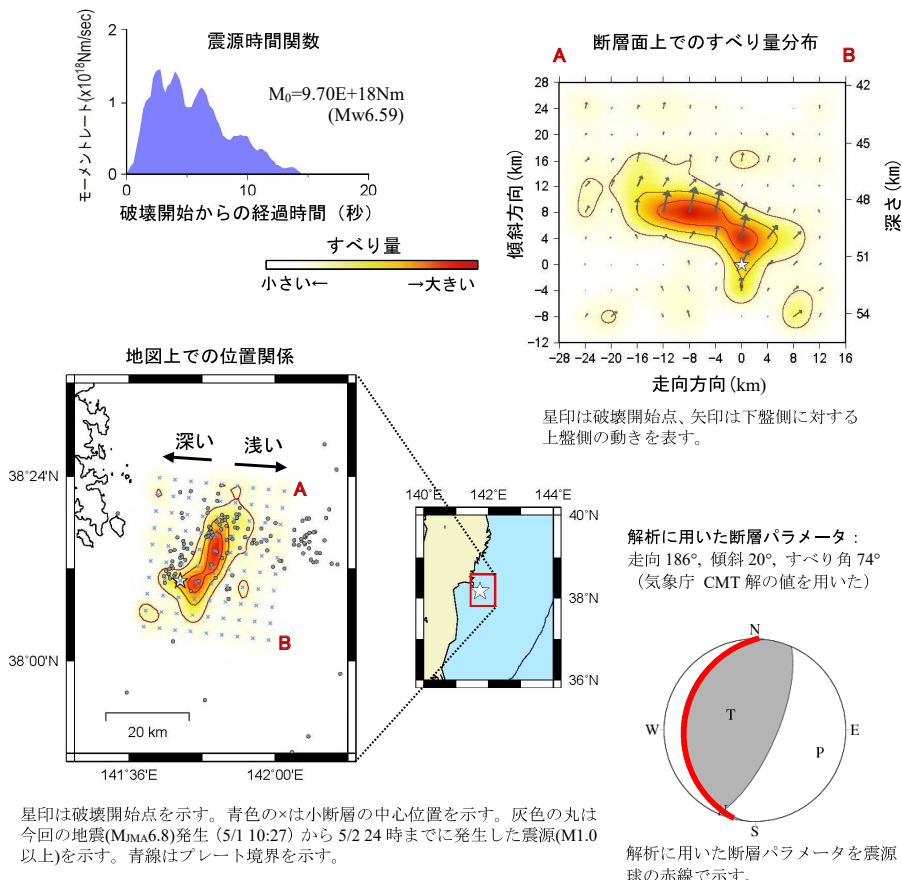
2021年05月01日10時27分（日本時間）に宮城県沖で発生した地震(MJMA6.8)について、国立研究開発法人防災科学技術研究所の強震観測網（K-net, KiK-net）の近地強震波形記録を用いた震源過程解析を行った。

破壊開始点は、気象庁による暫定震源の位置（ $38^{\circ} 10.4' N$ ,  $141^{\circ} 44.4' E$ 、深さ 51km）とした。断層面は、気象庁 CMT 解の2枚の節面のうち、低角に傾斜した節面（走向  $186^{\circ}$ 、傾斜  $20^{\circ}$ 、すべり角  $74^{\circ}$ ）を仮定して解析した。最大破壊伝播速度は  $3.2 \text{ km/s}$  とした。理論波形の計算には Koketsu et al. (2012) の結果から設定した地下構造モデルを用いた。

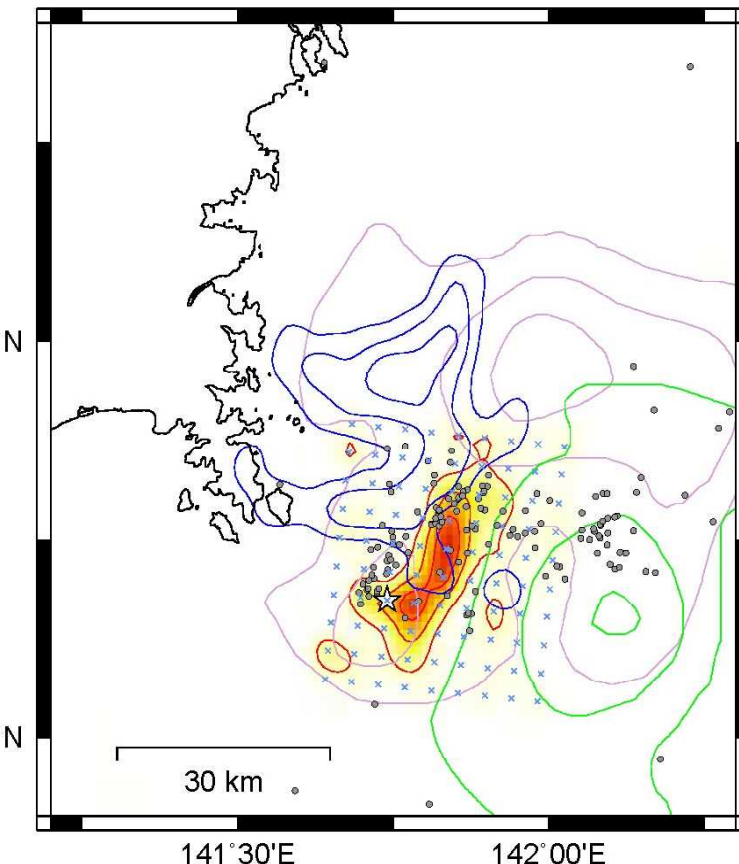
主な結果は以下のとおり（この結果は暫定であり、今後更新することがある）。

- ・主な破壊領域は走向方向に約 30km、傾斜方向に約 15km であった。
- ・主なすべりは破壊開始点から北東側のやや浅い領域に広がり、最大すべり量は 0.5m であった（周辺の構造から剛性率を  $65 \text{ GPa}$  として計算）。
- ・主な破壊継続時間は約 15 秒であった。
- ・モーメントマグニチュード (Mw) は 6.6 であった。

結果の見方は、[https://www.data.jma.go.jp/svd/eqev/data/world/about\\_srcproc.html](https://www.data.jma.go.jp/svd/eqev/data/world/about_srcproc.html) を参照。



1978年宮城県沖地震(M7.4)、2005年8月16日(M7.2)、2021年3月20日(M6.9)、2021年5月1日(M6.8)の地震時すべり分布の比較



色付きの点線は以下の地震時すべり分布のセンターであることを示す。

薄紫色：1978年宮城県沖地震[Yamanaka and Kikuchi (2004) : コンター間隔は0.5m]

緑色：2005年8月16日宮城県沖の地震[山中 (2005) : コンター間隔は0.3m]

青色：2021年3月20日宮城県沖の地震[気象庁による近地強震波形解析: コンター間隔は0.15m]

赤色：2021年5月1日宮城県沖の地震[気象庁による近地強震波形解析: コンター間隔は0.12m]

2021年5月1日10時27分頃に宮城県沖で発生した地震（M<sub>j</sub> 6.8; 気象庁）について、強震波形記録を用いた震源インバージョン解析を行った。

- 記録：K-NET・KiK-netの16観測点における速度波形三成分のS波部分（0.05–0.5 Hz）
- 解析手法：マルチタイムウィンドウ線形波形インバージョン  
(小断層2 km × 2 km、0.8秒幅のタイムウィンドウを0.4秒ずらして5個並べる)
- 断層面設定：走向185°・傾斜24°（F-net）、大きさ32 km × 20 km、破壊開始点は気象庁震源位置（深さ51.42km）  
\*ここで設定した断層面は解析の都合上仮定したものであり、必ずしも実際の断層面と一致するわけではないことに留意
- 推定結果： $M_0 = 1.2 \times 10^{19}$  Nm ( $M_w$  6.7)、最大すべり量2.0m  
破壊開始点付近において大きなすべりが推定されており、この領域での破壊は主に破壊開始から2秒間に生じていた。  
その後、断層破壊は北に進展した。

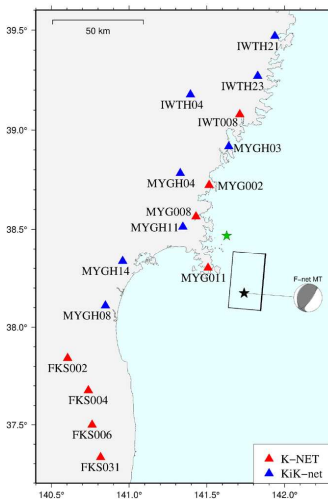


図1：観測点の分布と断層面上の地表投影。黒星は2021年5月1日宮城県沖の地震の破壊開始点を、緑星は2021年3月20日宮城県沖の地震の破壊開始点を示す。

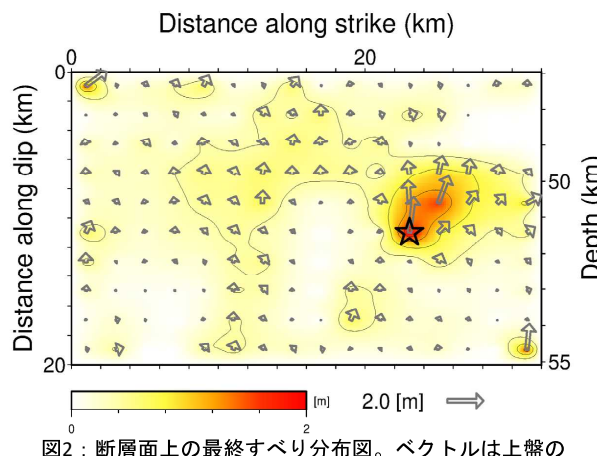
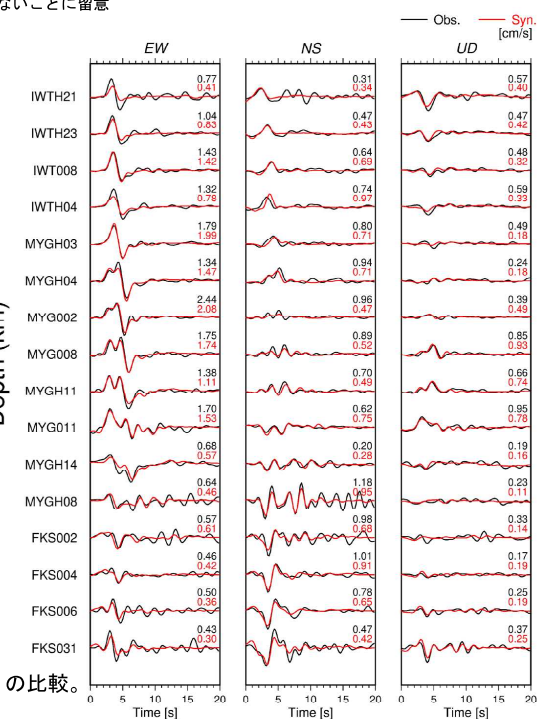


図2：断層面上の最終すべり分布図。ベクトルは上盤のすべり方向とすべり量を、星印は破壊開始点を示す。

図3：観測波形（黒線）と理論波形（赤線）の比較。波形の右上にそれぞれの最大値を示す。



## 2021年5月1日宮城県沖の地震の震源過程（暫定）

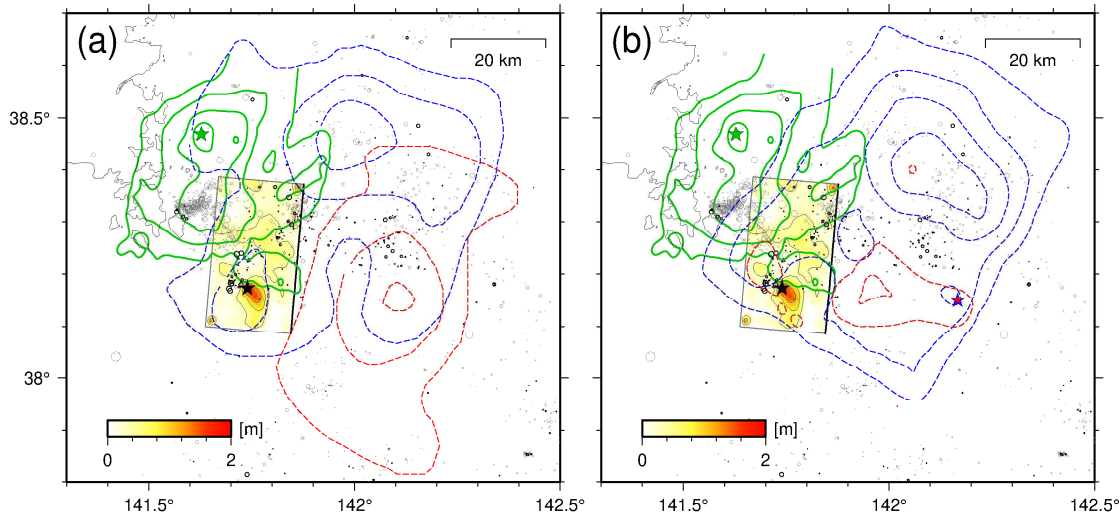


図4：2021年5月1日宮城県沖の地震のすべり分布の地表投影をカラーで、黒星は破壊開始点を示す。また防災科研が推定した2021年3月20日宮城県沖の地震のすべり分布（緑線、センター間隔は0.2m）と破壊開始点（緑星）も示す。黒丸は2021年5月1日宮城県沖の地震から1週間の間に発生した地震を、灰色丸は2021年3月20日宮城県沖の地震と2021年5月1日宮城県沖の地震の間に発生した地震を示す。(a)にはYamanaka and Kikuchi(2004)による1978年宮城県沖地震のすべり分布（青線、センター間隔は0.5m）と山中(2005)による2005年8月16日の宮城県沖の地震のすべり分布（赤線、センター間隔は0.3m）を示す。(b)にはWu et al. (2008)による1978年宮城県沖地震のすべり分布（青線、センター間隔は0.5m）と2005年8月16日の宮城県沖の地震のすべり分布（赤線、センター間隔は0.5m）を示す。

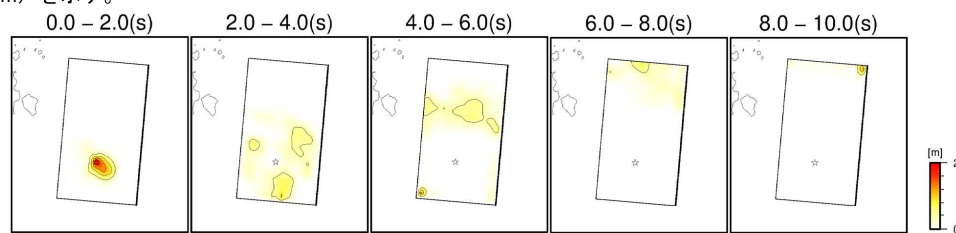
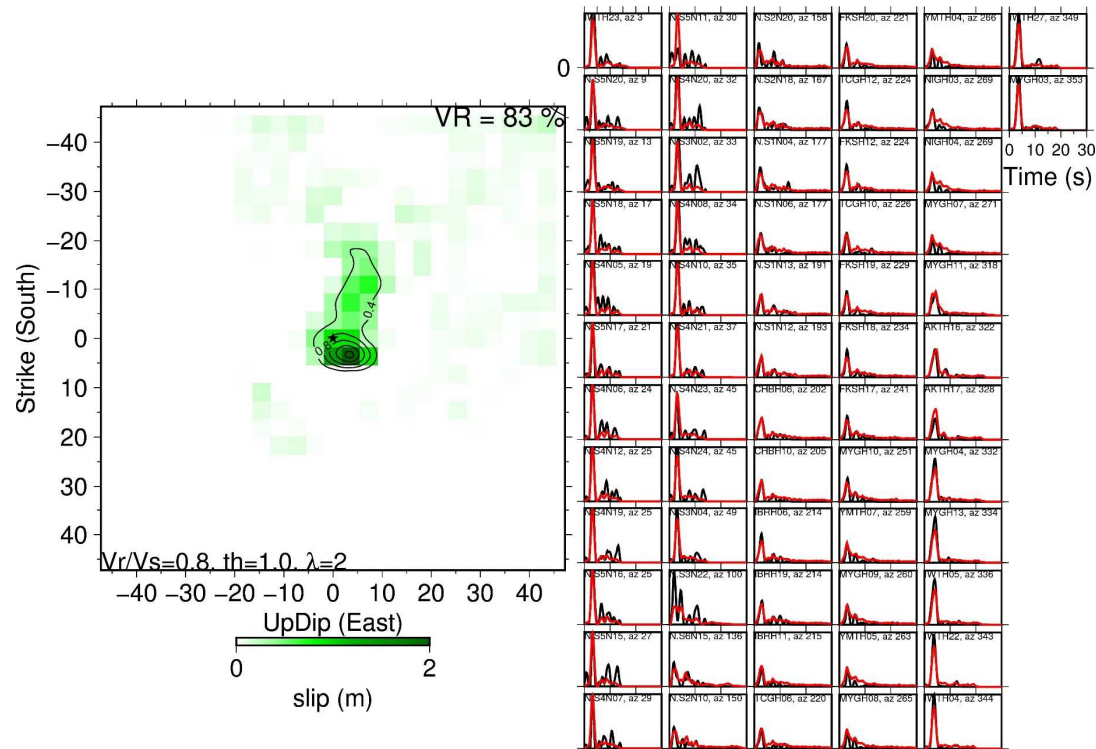


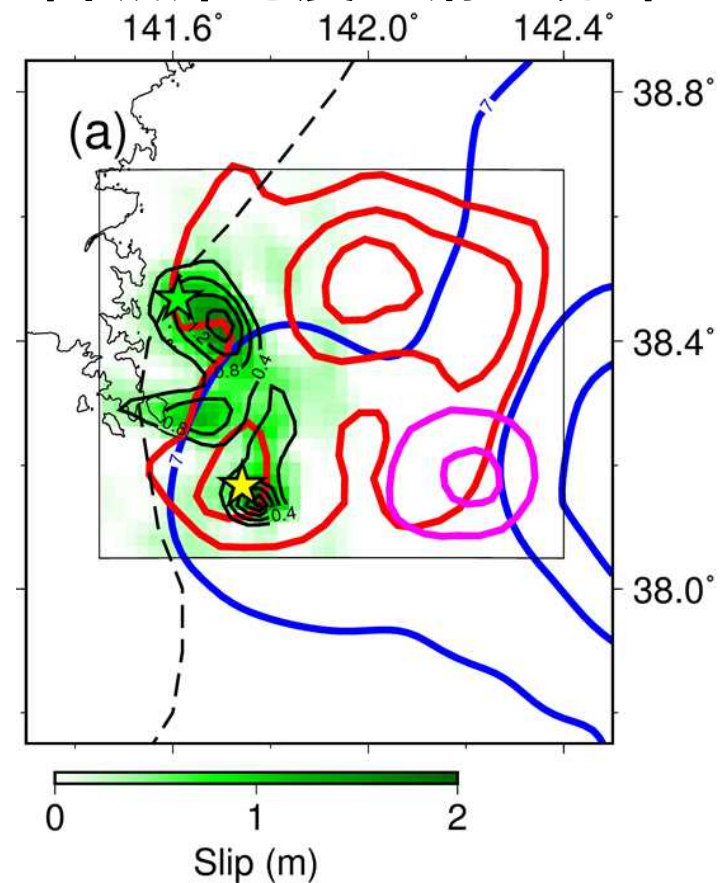
図5：破壊の時間進展過程。2秒ごとのすべり分布を地表投影。

# 2021年5月1日 宮城県沖の地震 波形インバージョンにより 推定した地震時滑り分布



陸域KiK-net, 海域S-netデータを使用

## 宮城沖地震の滑り分布



- ・センター：地震時滑り量
  - 黒：2021/3/20 Mw7.0地震, 2021/5/1 Mw6.8地震
  - 青：東北沖地震 (Iinuma et al., 2012)
  - 赤：1978年宮城沖地震 (Yamanaka & Kikuchi, 2004)
  - ピンク：2005年宮城沖地震 (Yaginuma et al. 2006)
- ・黒破線：プレート境界地震の downdip limit
 

(Igarashi et al., 2001; Uchida et al., 2009; Kita et al., 2010)